

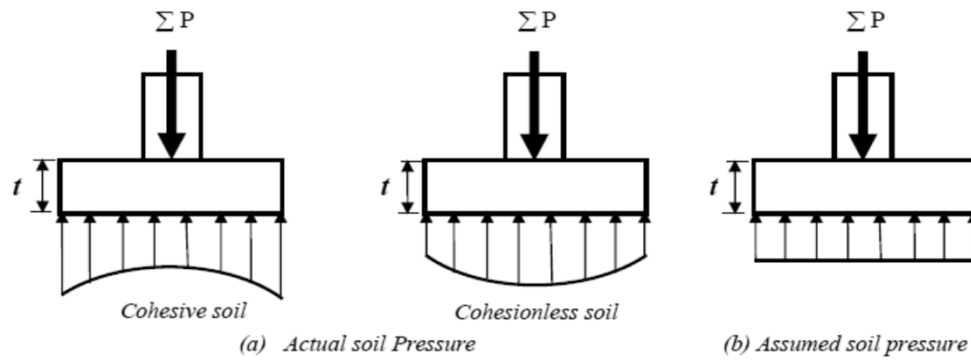


Foundation Engineering
2025-2026

Third Lecture (3)
“Isolated Footing
الأساس المنفرد

Dr. Maiasa Mlhem

الافتراضات



تراكم الحمولات

٥. وفق الكود الأميركي 318-14 ACI لمطالبات الأساسات من البيتون المسلح تم تحديد أن الحمولات يجب أن تحول لحمولات حدية وفق المنهجية التالية:

$$\left\{ \begin{array}{l} P_{ult} = 1.4DL \\ P_{ult} = 1.2DL + 1.6LL \\ P_{ult} = 1.2DL + 1.6WL + 1LL \\ P_{ult} = 0.9DL + 1.6WL \\ P_{ult} = 1.2DL + 1EL + 1LL \\ P_{ult} = 0.9DL + 1EL \end{array} \right\} \dots \dots \dots (ACI 318-14 Section 9.2)$$

- ٤٠. قاعدة عامة تستعمل الحمولات الفعلية ΣP وضغط التربة الفعلي الصافي ($q_{all, net}$) يستخدمه لحساب مساحة الأساس. أما الحمولات المصعدة وضغط التربة المستخدمة لحساب مساحة التسلیح As وسماكه الأساس t.

٠. هناك أربعة حالات حدية انسانية للأساسات:

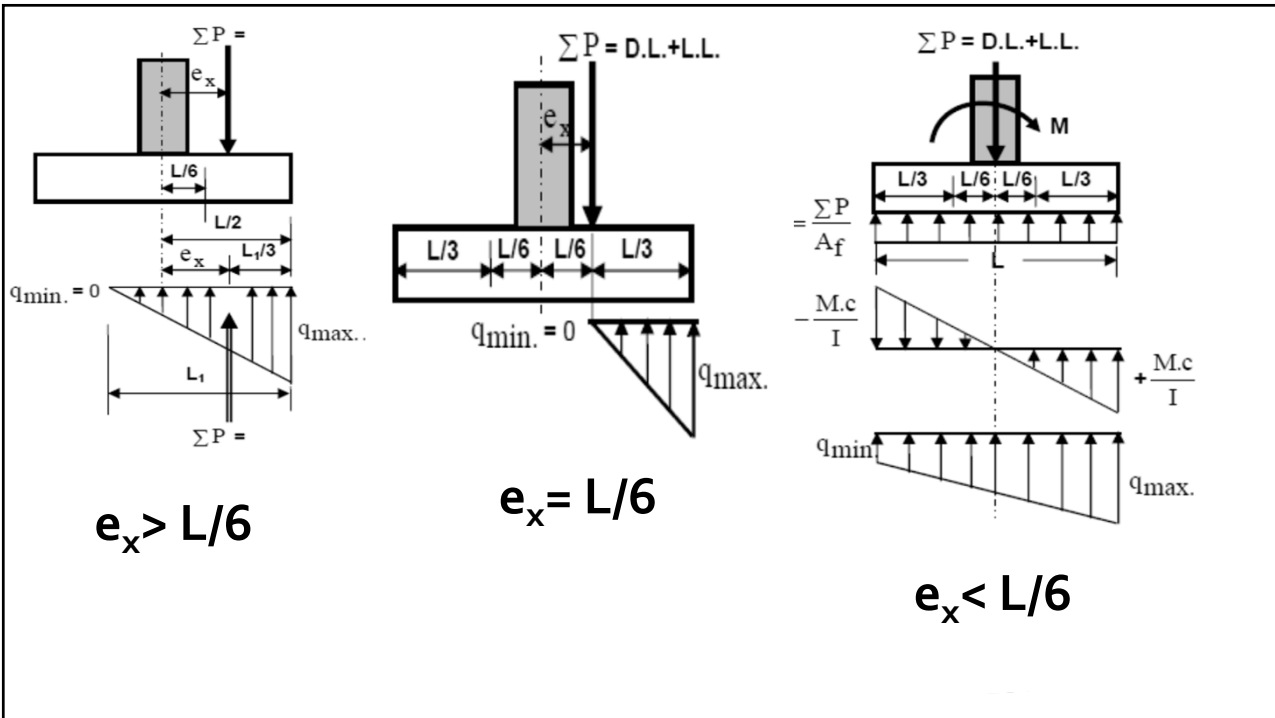
- ٥. انهيار الانعطاف لجزء من الأساس البارز عن العمود أو الجدار
 - ٦. انهيار القص للأساس
 - ٧. انهيار قدرة التحمل عند التلاقي بين العمود أو الجدار مع الأساس
 - ٨. عدم كفاية لتشبيك تسليح الانعطاف ضمن الأساس.

توزيع صعّط التربة تحت الأساسات

(a) Concentric load

(b) Eccentric load

$$q = \frac{P}{A} \pm \frac{M^* y}{J} \quad (5-4)$$



طرق التصميم:

• الأولى هي طريقة الاجهاد المسموح:

- حيث يتم تصميم الأساس باعتبار أن الاجهادات المسموحة المتواجدة في التربة لحمولات غير مصعدة. للأساس المنفرد المحمل مركزيًا

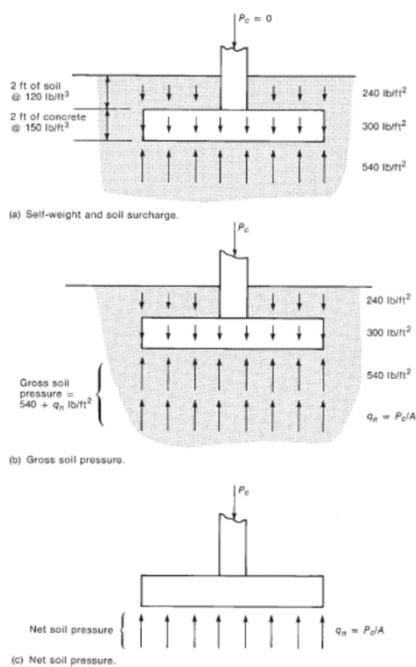
$$\sum P_s \leq q_a * A \quad (5-1)$$

• الثانية: الطريقة الحدية

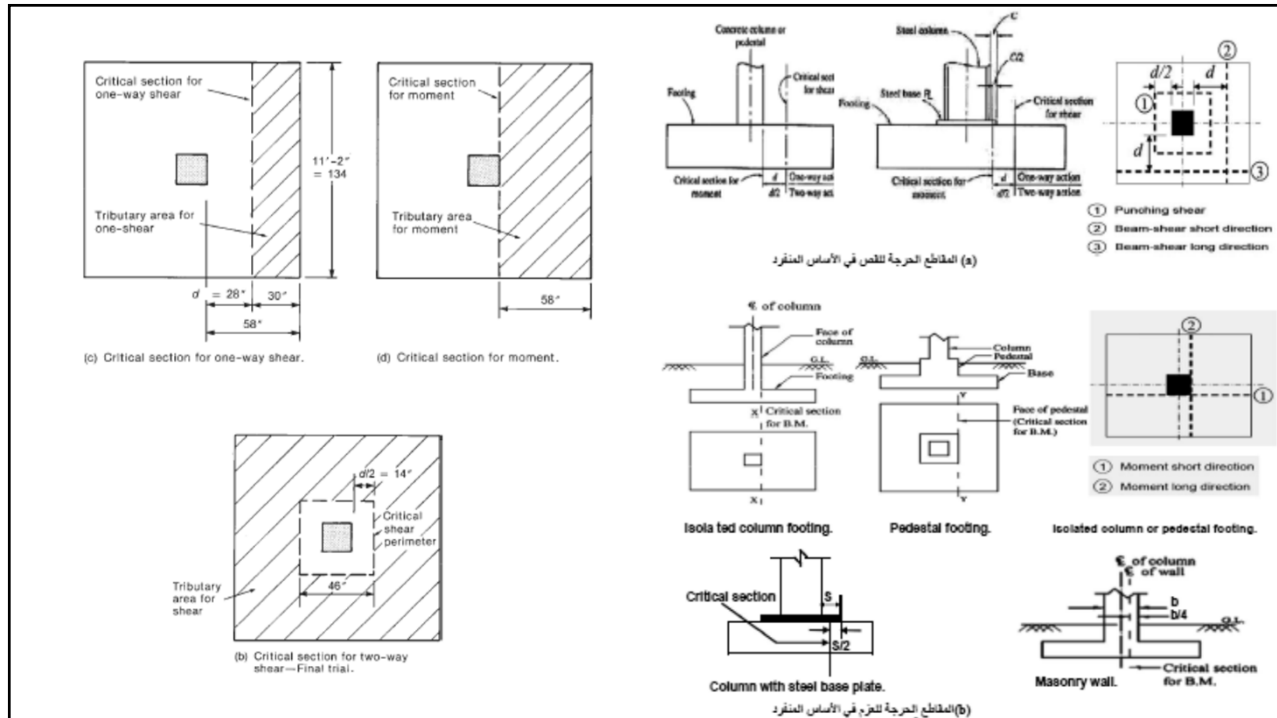
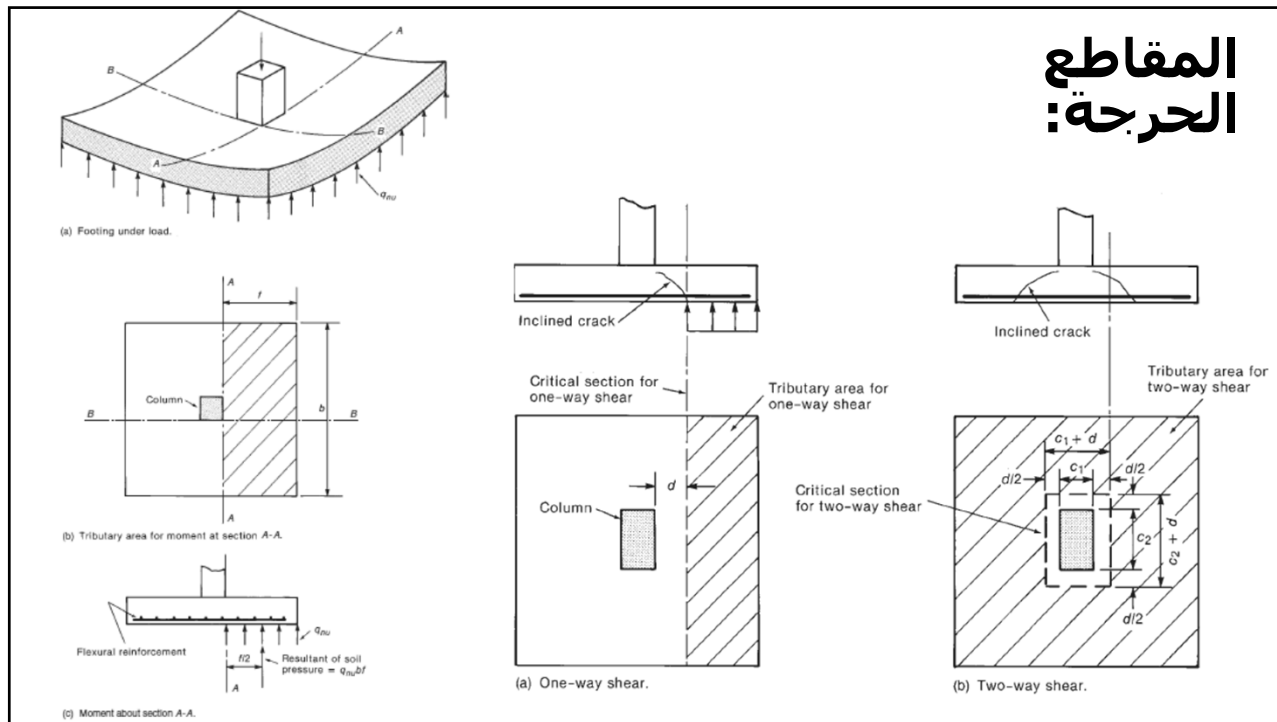
- تعتمد على الحمولات المصعدة والمقاومة المصعدة التي تعطى بالعلاقة:

$$\phi * R_n \geq \sum \alpha * P_s \quad (5-2)$$

ضغط التربة الكلي والصافي



Foundation Engineering(1)



خطوات تصميم أساس منفرد وفق الكود الأميركي ACI 318-14

1) إيجاد مساحة الأساس

نفرض سماكة الأساس t -

- نحسب قدرة التحمل المسموحة الصافية $q_{all(\text{net})}$ للترية من قدرات التحمل وفق الأحمال التالية:

كما يلي: DL,(DL+LL),(DL+LL+WL)

$$q_{all(net)DL} = q_{all(DL)} - t_f * \gamma_{conc.} - (D_f - t_f) * \gamma_{soil} \quad A_f = \frac{DL}{q_{all(net)DL}}$$

$$q_{all(net)DL+LL} = q_{all(DL+LL)} - t_f * \gamma_{conc.} - (D_f - t_f) * \gamma_{sol} \quad A_f = \frac{DL + LL}{q_{all(net)DL+LL}}$$

$$q_{all(net)DL+LL+WL} = q_{all(DL+LL+WL)} - t_f * \gamma_{conc.} - (D_f - t_f) * \gamma_{soil} \quad A_f = \frac{DL + LL + WL}{q_{all(net)DL+LL+WL}}$$

من تم من أجل أساس مربع تحصل على عرض الأساس من:

$$B = \sqrt{A_{f(\text{control})}}$$

2) نصعد الحمولات وحسب الحمولات الحرجة المسيطرة نحسب ضغط التربة الحردي كما يلى:

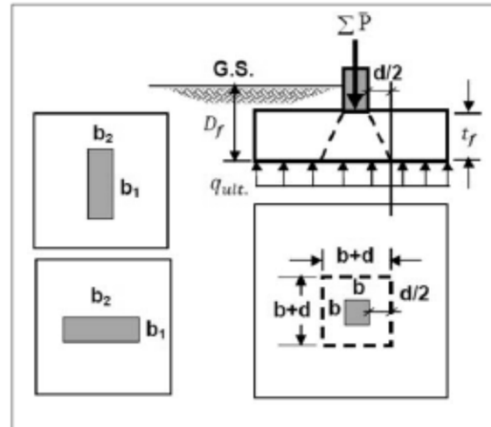
$$\left\{ \begin{array}{l} P_{ult} = 1.4DL \\ P_{ult} = 1.2DL + 1.6LL \\ P_{ult} = 1.2DL + 1.6WL + 1LL \\ P_{ult} = 0.9DL + 1.6WL \\ P_{ult} = 1.2DL + 1EL + 1LL \\ P_{ult} = 0.9DL + 1EL \end{array} \right\} \dots \dots \dots (ACI 318-14 Section 9.2)$$

(3) تتحقق على (a) قدرة التحمل (عامل الأمان ≥ 3) (S.F.) (b) الهبوط ($S_{\leq} \leq S_{allowable}$)

٤) نحدد سماكة الأساس:

القص باتجاهين (الثقب)

التحقق من القص باتجاهين (قص الثقب) على بعد $d/2$ من وجه العمود الشكل punching shear على بعد $d/2$ من وجه العمود الشكل (i) :5-13



الشكل 5-13: التحقق من الثقب Punching Shear

$$b_0 = 2 * (c_1 + d) + 2 * (c_2 + d) \quad (15-12)$$

حيث c_1 , c_2 أبعاد العمود و d الارتفاع الفعال في الاتجاهين. وللأساسات تكون قيمة قوة القص كما يلي:

$$V_u \leq \phi * (V_c + V_s)$$

ومن تم اختيار قيمة القوة V_c بأنها الأصغر من القيم التالية:

$$\phi V_c = 0.17 * \left(1 + \frac{2}{\beta}\right) * \lambda * \phi * \sqrt{f'_c} * b_0 * d \quad (15-13) (ACI 318M - 11 - 31)$$

$$\phi V_c = 0.083 * \left(\frac{\alpha_s * d}{b_0} + 2\right) * \lambda * \phi * \sqrt{f'_c} * b_0 * d \quad (15-14) (ACI 318M - 11 - 32)$$

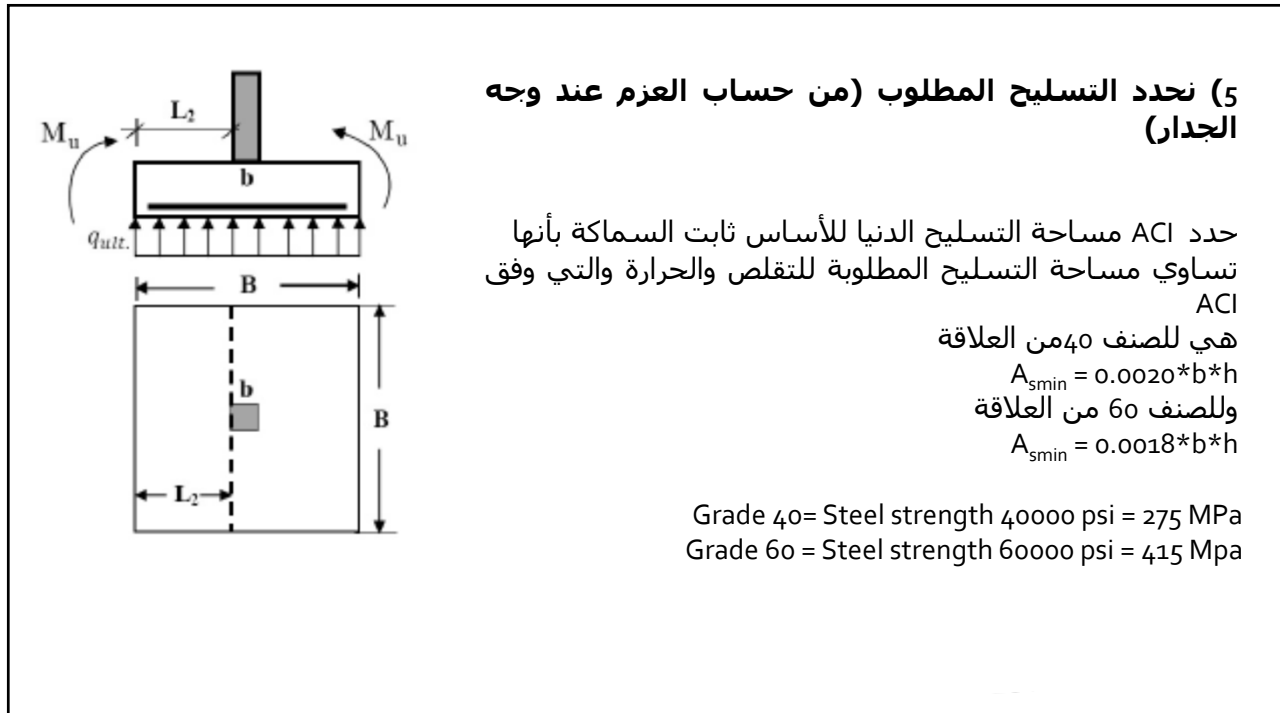
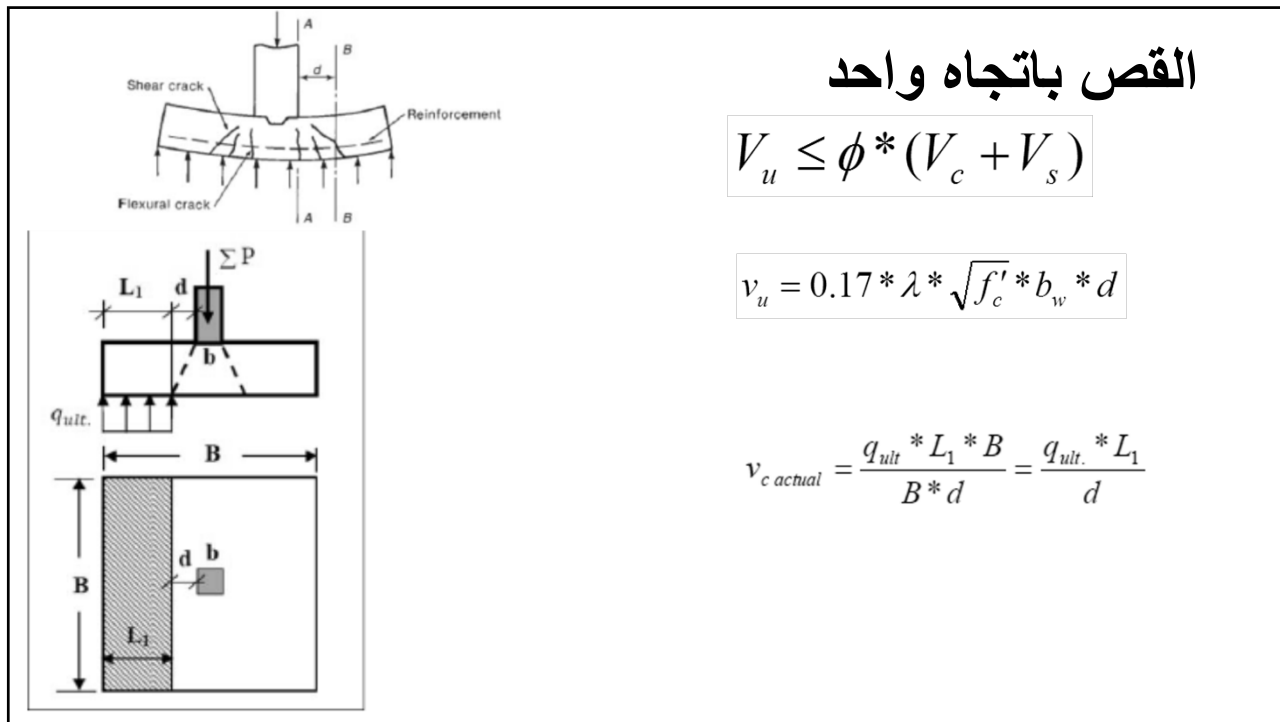
$$\phi V_c = 0.33 * \lambda * \phi * \sqrt{f'_c} * b_0 * d \quad (15-13) (ACI 318M - 11 - 33)$$

حيث β هي النسبة بين البعد الطويل إلى البعد القصير للعمود (b_2/b_1) و b_0 محيط المقطع الحرج

α_s تابع ويساوي: 40 للعمود الداخلي، 30 للعمود الطرفي، 20 للعمود الركبي (الزاوي).

$$V_{c\ actual} = \frac{q_{ult} * [A_f - (b+d)^2]}{b_0 * d}$$

نضع أن $V_{c\ all} = V_{c\ actual}$ ونحل المعادلة لنوجد قيمة d .



6) توزيع التسلیح والتبعادات بين القضبان:

عدد القضبان نرمز له N ويحسب من العلاقة:

$$N = \frac{A_{s\ total}}{\text{Area of bar}}$$

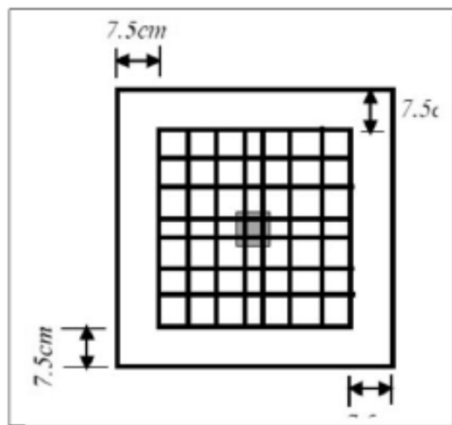
5) توزيع التسلیح والتبعادات بين القضبان

حدد ACI التباعد الأعظمي بين قضبان التسلیح بأنه القيمة الأقل بين:
ثلاث أضعاف السماكة أو $.18in$

أما التباعد نرمز له S فيحسب من العلاقة:

$$S(c/c) = \frac{B - 15}{N - 1}$$

15 هي لتخطیة الپیتون



٠٨) التحقق من التماس بين العمود والأساس

التحمل الأعظمي عند سطح الأساس

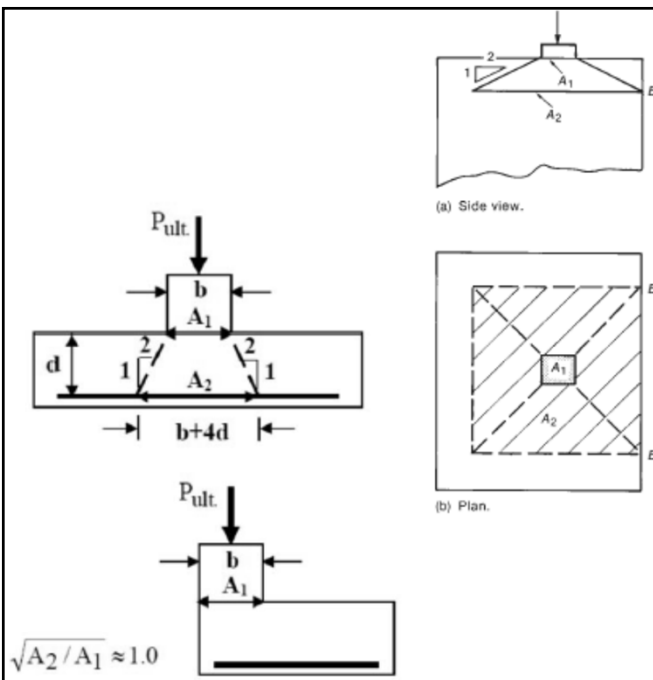
$$B_{(\max)} = 0.85 * \phi * f'_c * A_1 * \sqrt{\frac{A_2}{A_1}} \leq 1.7 * \phi * f'_c * A_1$$

التحمل المسموح عند قاعدة العمود

$$B_{(allowable)} = 0.85 * \phi * f'_c * A_1$$

حيث A_1 مساحة التماس بين العمود
والأساس

A_2 مساحة الاختراق $(b+4d)^2$ كما يبين
الشكل



• نحتاج إلى تسلیح حسابي Dowels ويحسب من العلاقة:

$$A_{s(dowels)} = \frac{P_{factored} - B_{(allowable)}}{\phi * f_y} \geq 0.005 * A_g$$

حيث A_g مساحة مقطع العمود

نختار أربعة قضبان في كل زاوية من العمود قضيب بحيث تمتد ضمن الأساس مسافة مساوية طول الترابط في منطقة الضغط compression-development length وهناك قيم مبين في الجدول A-7 حسب قطر القضيب ومقاومته. ومن ثم يتم عك夫 القضيب بمسافة لاتقل عن d_h مبينة في الجدول A-8.

TABLE A-7M Basic Compression Development Length, ℓ_{dc} (mm)^a

Bar No.	f'_c (MPa)				
	20	25	30	35	40
$f_y = 420$ (MPa)					
10	235	210	192	177	168
13	305	273	249	231	216
16	376	336	307	284	266
19	446	399	364	337	315
22	517	462	422	390	365
25	587	525	479	444	415
29	681	609	556	515	481
32	751	672	613	568	531
36	845	756	690	639	598
43	1010	903	824	763	714
57	1338	1197	1093	1012	946
$f_y = 300$ (MPa)					
10	200	200	200	200	200
15	252	225	205	200	200
20	335	300	274	254	240

$$\ell_{dc} = \left(\frac{0.24 * f_y}{\lambda * \sqrt{f'_c}} \right) * d_b$$

$$\ell_{dc} = 0.043 f_y * d_b$$

أيهما أكبر

TABLE A-8M Basic Development Lengths for Hooked Bars, ℓ_{dh} (mm)

Bar No.	f'_c (MPa)				
	20	25	30	35	40
10	224	200	183	169	158
13	291	260	237	220	206
16	358	320	292	270	253
19	425	380	347	321	300
22	492	440	402	372	348
25	559	500	456	423	395
29	648	580	529	490	459
32	716	640	584	541	506
36	805	720	657	609	569
43	962	860	785	727	680
57	1275	1140	1041	963	901

^aLengths may be reduced if excess reinforcement is anchored or if the splice is enclosed in a spiral. See ACI Code Section 12.3.3. Reduced length shall not be less than 200 mm.

Foundation Engineering(1)

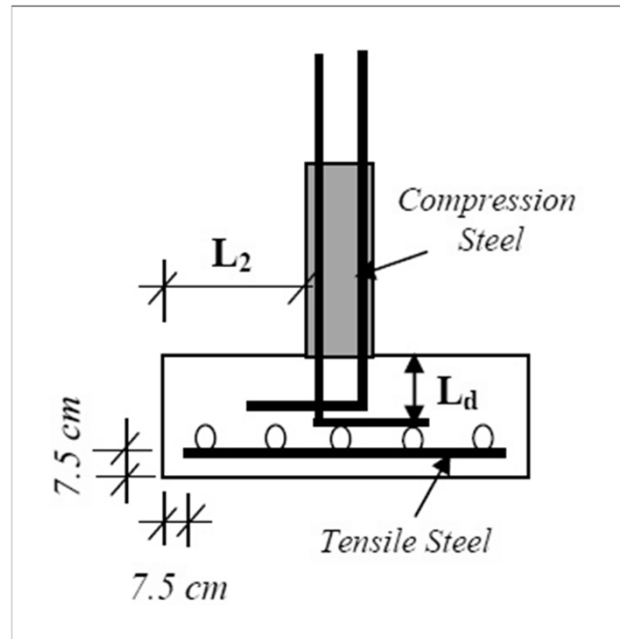
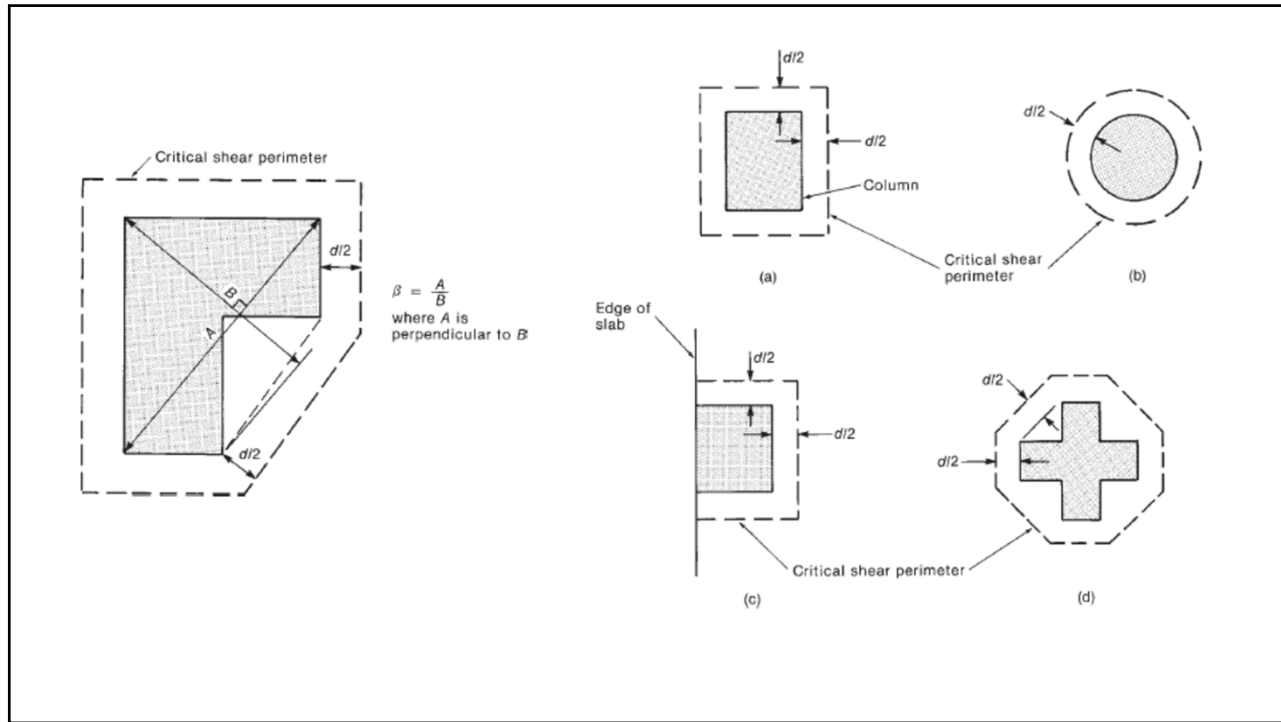


TABLE A-1M Areas, Weights, and Dimensions of Reinforcing Bars—SI Units

Bar Size Designation No. ^b	Grades ^c	Nominal Mass (kg/m)	Nominal Dimensions ^a	
			Diameter (mm)	Cross-Sectional Area (mm ²)
10	300, 420	0.560	9.5	71
13	300, 420	0.994	12.7	129
16	300, 420	1.552	15.9	199
19	300, 420, 520	2.235	19.1	284
22	420, 520	3.042	22.2	387
25	420, 520	3.973	25.4	510
29	420, 520	5.060	28.7	645
32	420, 520	6.404	32.3	819
36	420, 520	7.907	35.8	1006
43	420, 520	11.38	43	1452
57	420, 520	20.24	57.3	2581

Foundation Engineering(1)



(1) ايجاد مساحة الأساس:

- نفرض عرض الأساس B وسمك الأساس t .

- نحسب قدرة التحمل المسموحة الصافية $q_{all(net)}$ للتربة وفق الأحمال التالية:

كما يلى: $(DL+LL+WL)$

$$q_{all(net)DL+LL+WL} = q_{all(DL+LL+WL)} - t_f * \gamma_{conc} - (D_f - t_f) * \gamma_{soft} \quad A_f = \frac{DL + LL + WL}{q_{all(net)DL+LL+WL}}$$

نوجد قيمة الامرکزية كما يلى:

$$e = \frac{M}{\sum P}$$

حيث أن M هو العزم المقاس عند نعل الأساس

ΣP هي مجموع الحمولة الحية والميتة وأي حمولة شاقولية مطبقة

- نفرض أن $e < \frac{L}{6}$ ونحسب قيمة q_{max} كما يلى:

$$q_{max} = \frac{\sum P}{B * L} * \left[1 + \frac{6 * e}{L} \right]$$

تحقق المساواة التالية:

$q_{max} = q_{all(net)}$ ونوجد قيم L و B وفق الاعتبارات التالية:

لأساس المربع يكون $L=B$

لأساس المستطيل يكون $L/B < 2$

لأساس المستمر نفرض $L=1$ ونحدد B .

أساس منفرد مع عزم

$$q_{min} = \frac{\sum P}{B * L} * \left[1 \pm \frac{6 * e}{L} \right] \quad \text{نحسب قيمة } q_{min} \text{ ونتحقق أن}$$

$$q_{min} \geq 0 \quad \text{و} \quad q_{max} \leq q_{all(net)}$$

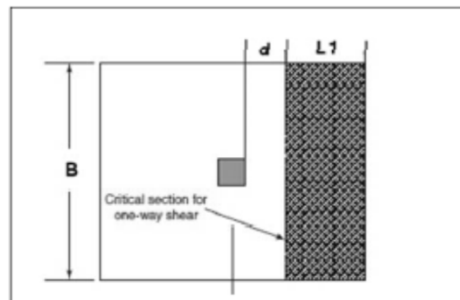
Foundation Engineering(1)

(i) التحقق من القص باتجاه واحد على بعد d من وجه العمود:

لتبسيط الحل نفترض أن رد فعل التربة الأعظمي q_{max} هو على كامل طول المقطع الحرج المبين في الشكل

$$V_u = q_{max} \cdot L_1 \cdot B \quad \text{ف تكون قيمة } V_u :$$

$$\phi \cdot V_c = 0.17 \cdot \phi \cdot \lambda \cdot \sqrt{f'_c} \cdot b_w \cdot d \quad \text{ومن تم تحدد قيمة } V_c \text{ من العلاقة:}$$



$$\Phi = 0.75$$

تحقق المساواة $V_u = \Phi V_c$ ونوجد قيمة d .

(فيما إذا كانت d مجهولة)

وفي حال كانت قيمة d مفروضة من البداية

فحند تتحقق المساواة تكون القيمة مقبولة

وننتقل للتحقق من القص ثانٍ الاتجاه.

(ii) التتحقق من القص ثانٍ الاتجاه (التب) على بعد $d/2$ من وجه العمود:

نقوم بحساب متوسط الضغط المسموح على كامل عرض الأساس كما يبين الشكل 6-2 أي نحسب:

$$q_{avg.} = \frac{q_{max} + q_{min}}{2}$$

ومن تم تتابع الحل وكأن ضغط التربة موزع بانتظام تحت الأساس ونحسب V_u من العلاقة التالية:

$$V_u = P_u - q_{avg.} \cdot [(b+d)^2] \quad (\text{إذا كان العمود مربع})$$

ومن تم اختيار قيمة القوة V_c بأنها الأصغر من القيم التالية:

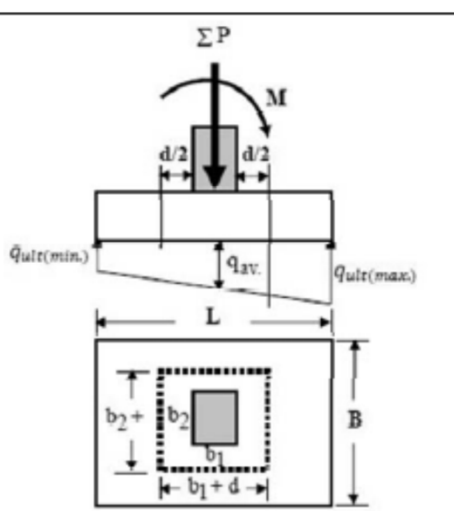
$$\phi V_c = 0.17 * \left(1 + \frac{2}{\beta}\right) * \lambda * \phi * \sqrt{f'_c} * b_0 * d \quad (15-13)(ACI 318M - 11 - 31)$$

$$\phi V_c = 0.083 * \left(\frac{\alpha_s * d}{b_0} + 2\right) * \lambda * \phi * \sqrt{f'_c} * b_0 * d \quad (15-14)(ACI 318M - 11 - 32)$$

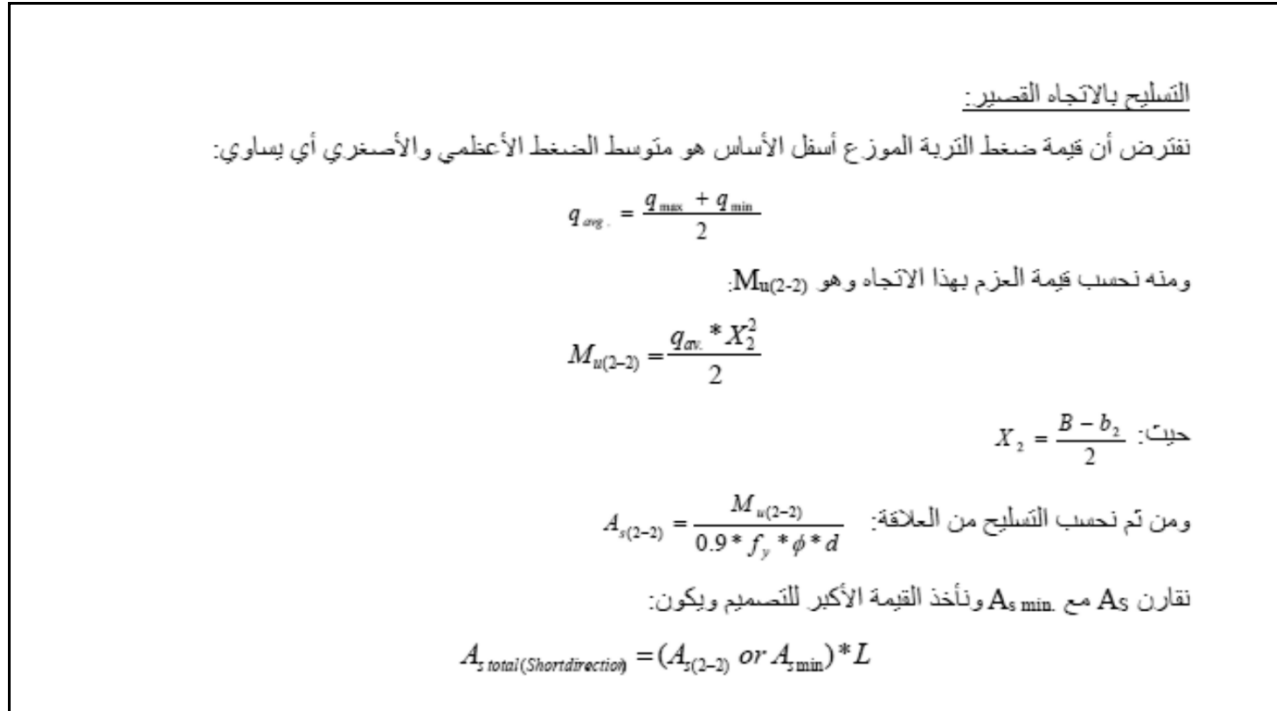
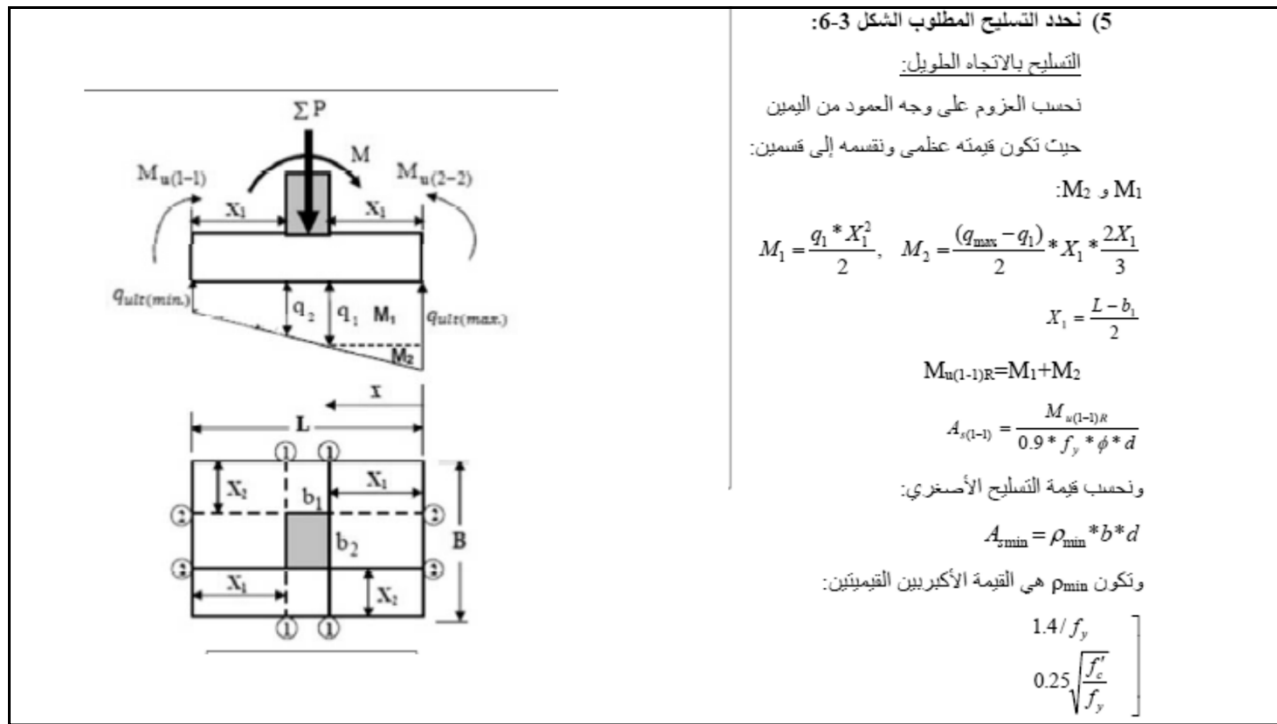
$$\phi V_c = 0.33 * \lambda * \phi * \sqrt{f'_c} * b_0 * d \quad (15-13)(ACI 318M - 11 - 33)$$

حيث β هي النسبة بين البعد المطول إلى البعد التصغير للعمود (b_2/b_1) و b_0 محيط المقطع الحرج

α_s ثابت ويساوي: 40 للعمود الداخلي، 30 للعمود الطرفي، 20 للعمود الركنى (الزاوى).



Foundation Engineering(1)



تأثير العزم المنقول على قوى القص

إن قوة القص الجديدة الناتجة عن تأثير العزم تحسب من العلاقة

$$v_u = \frac{V_u}{b_0 * d} \pm \frac{\gamma_v * M_u * c}{J_c}$$

حيث:

b_0 محيط المقطع الحرج

d الارتفاع الفعال للأساس

J_c عزم العطالة القطبي لمقطع القص الحرج

V_u قوة القص المصعدة المنقولة من العمود إلى الأساس

M_u العزم المصعد المنقول عند التماس بين العمود والأساس

c المسافة من مركز المقطع الحرج إلى طرف المقطع حيث يتم قياس قوة القص v_u

γ_v النسبة من العزم المحول إلى إجهاد قص على المقطع الحرج وتحسب من العلاقة:

$$\gamma_v = 1 - \gamma_f$$

حيث γ_f النسبة من العزم المحول من الانعطاف المباشر وحددها ACI من العلاقة التالية:

$$\gamma_f = \frac{1}{1 + \frac{2}{3} * \sqrt{\frac{b_1}{b_2}}}$$

حيث b_1 العرض الكلي للمقطع الحرج العمودي على محور العزم، b_2 العرض الكلي الموازي لمحور

العزم. هذا يعني أنه عندما يكون المقطع الحرج مربعاً يكون $b_1=b_2=0.6$ وبالتالي $\gamma_f=0.6$ أي $\gamma_v=0.4$.

يعني أن 60% من العزم تحول إلى الأساس من تسلیح الانعطاف و 40% من إجهاد القص اللامركزي.

وتخالف قيمة العزم القطبي J_c حسب موقع العمود ومحور العزم حيث لدينا الحالات التالية:

